

## СЛЕДЯЩАЯ НАГРУЗКА В НЕЛИНЕЙНОЙ ПЛОСКОЙ ЗАДАЧЕ

УДК 539.3

К. Ф. Черных, И. В. Петренко

Санкт-Петербургский государственный университет,  
199164 Санкт-Петербург

На примере плоской задачи теории упругости выявляются особенности учета следящей нагрузки (нормального давления) при геометрически нелинейном подходе. Используются обозначения и терминология, принятые в [1–4].

1. Для плоской однородной задачи нелинейной теории упругости с заданными на контуре области напряжениями (рис. 1) имеют место простые компактные зависимости [1–4]:

$$\frac{\partial \{F^{-1} \cdot J\Sigma\}_1}{\partial \zeta} + \frac{\partial \{F^{-1} \cdot J\Sigma\}_2}{\partial \bar{\zeta}} = 0 \quad (\zeta \in \overset{\circ}{V}); \quad (1.1)$$

$$\{F^{-1} \cdot J\Sigma\}_1 = \frac{\partial z}{\partial \zeta} \left| \frac{\partial z}{\partial \zeta} \right|^{-1} \frac{\partial \Phi}{\partial |\partial z / \partial \zeta|} \quad (\zeta \in \overset{\circ}{V}); \quad (1.2)_1$$

$$\{F^{-1} \cdot J\Sigma\}_2 = \frac{\partial z}{\partial \bar{\zeta}} \left| \frac{\partial z}{\partial \bar{\zeta}} \right|^{-1} \frac{\partial \Phi}{\partial |\partial z / \partial \bar{\zeta}|} \quad (\zeta \in \overset{\circ}{V}); \quad (1.2)_2$$

$$\{F^{-1} \cdot J\Sigma\}_2 e^{i\gamma} + \{F^{-1} \cdot J\Sigma\}_2 e^{-i\gamma} = 2e^{i\gamma} [\sigma_{\nu\nu}^{\circ}(s) + i\sigma_{\nu t}^{\circ}(s)] \quad (\zeta \in \overset{\circ}{S}). \quad (1.3)$$

Здесь  $\{F^{-1} \cdot J\Sigma\}_i$  — комплексные компоненты несимметричного тензора номинальных напряжений;  $\zeta = \overset{\circ}{x}_1 + i\overset{\circ}{x}_2$ ,  $z = x_1 + ix_2$  — комплексные координаты материальной точки до и после деформации;  $\Phi(|\partial z / \partial \zeta|, |\partial z / \partial \bar{\zeta}|, \lambda)$  — упругий потенциал;  $\lambda$  — кратность удлинения в направлении третьей координатной оси  $\overset{\circ}{x}_3$ .

Через определенные из краевой задачи (1.1)–(1.3) основные искомые функции  $\partial z / \partial \zeta$  и  $\partial z / \partial \bar{\zeta}$  находятся: поворот материальной частицы  $\omega$  и кратность изменения площади  $\Delta$

$$e^{i\omega} = \frac{\partial z}{\partial \zeta} \left| \frac{\partial z}{\partial \zeta} \right|^{-1}, \quad \Delta = \left| \frac{\partial z}{\partial \zeta} \right|^2 - \left| \frac{\partial z}{\partial \bar{\zeta}} \right|^2,$$

комплексные компоненты тензора условных напряжений (симметричного тензора Био)

$$\overset{\circ}{\Sigma}_1 \equiv \overset{\circ}{\sigma}_{11} + \overset{\circ}{\sigma}_{22} = \frac{\partial \Phi}{\partial |\partial z / \partial \zeta|},$$

$$\overset{\circ}{\Sigma}_2 \equiv \overset{\circ}{\sigma}_{11} - \overset{\circ}{\sigma}_{22} + i2 \overset{\circ}{\sigma}_{12} = \frac{\partial \bar{z}}{\partial \zeta} \frac{\partial z}{\partial \zeta} \left| \frac{\partial z}{\partial \zeta} \right|^{-1} \left| \frac{\partial z}{\partial \bar{\zeta}} \right|^{-1} \frac{\partial \Phi}{\partial |\partial z / \partial \bar{\zeta}|},$$

комплексная координата материальной точки после деформации

$$z = \int \left( \frac{\partial z}{\partial \zeta} d\zeta + \frac{\partial z}{\partial \bar{\zeta}} d\bar{\zeta} \right).$$

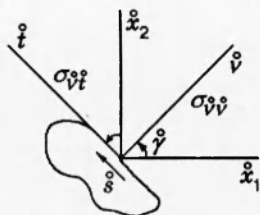


Рис. 1

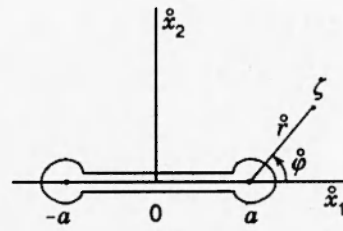


Рис. 2

## 2. Упругому потенциалу

$$\Phi = \sigma^* \left| \frac{\partial z}{\partial \zeta} \right|^2 + \alpha \left| \frac{\partial z}{\bar{\zeta}} \right|^2 \quad (2.1)$$

отвечает в главных координатных осях деформации связь между главными условными напряжениями  $\dot{\sigma}_i$ , и главными кратностями удлинений:

$$\begin{aligned}\dot{\sigma}_1 &= \sigma^* \{1 + (1/2)[(\lambda_1 - 1) + (\lambda_2 - 1)]\} + (1/2)\alpha[(\lambda_1 - 1) - (\lambda_2 - 1)], \\ \dot{\sigma}_2 &= \sigma^* \{1 + (1/2)[(\lambda_1 - 1) + (\lambda_2 - 1)]\} - (1/2)\alpha[(\lambda_1 - 1) - (\lambda_2 - 1)].\end{aligned}$$

При  $\lambda_1 = \lambda_2 = 1$ , т. е. при отсутствии деформации,  $\dot{\sigma}_1 = \dot{\sigma}_2 = \sigma^*$ . Таким образом,  $\sigma^*$  — предварительное всестороннее (в плоскости  $\dot{x}_1 \dot{x}_2$ ) растягивающее условное напряжение. Из выражения (2.1) видно, что рассматриваемому упругому потенциалу (2.1) соответствует предварительно напряженный (физически) линейный материал. Отметим связь упругих постоянных  $\sigma^*$ ,  $\alpha$  с традиционными:

$$\sigma^* \rightarrow \frac{E}{(1 + \nu)(1 - 2\nu)}, \quad \alpha \rightarrow \frac{E}{1 + \nu}. \quad (2.2)$$

Принятому материалу отвечают

$$\frac{\partial z}{\partial \zeta} = \Phi(\zeta), \quad \frac{\partial z}{\bar{\zeta}} = \overline{\Psi(\zeta)}, \quad z = \int \Phi(\zeta) d\zeta + \overline{\int \Psi(\zeta) d\zeta}.$$

При этом для бесконечной области с отверстием, содержащим начало координат, имеем

$$\begin{aligned}\Phi(\zeta) &= a_0 + \Phi_0(\zeta), \quad \Phi_0(\zeta) = \frac{a_{-2}}{\zeta^2} + \frac{a_{-3}}{\zeta^3} + \dots, \\ \Psi(\zeta) &= b_0 + \Psi_0(\zeta), \quad \Psi_0(\zeta) = \frac{b_{-2}}{\zeta^2} + \frac{b_{-3}}{\zeta^3} + \dots,\end{aligned}$$

где

$$a_0 = (\dot{\sigma}_{11}^\infty + \dot{\sigma}_{22}^\infty)/2\sigma^*; \quad b_0 = (\dot{\sigma}_{11}^\infty - \dot{\sigma}_{22}^\infty - i\dot{z} \dot{\sigma}_{12}^\infty)/2\alpha;$$

$\dot{\sigma}_{ij}^\infty$  — условные напряжения на бесконечности.

3. В качестве базовой рассмотрим эталонную задачу о плоскости с прямолинейным разрезом ( $-a \leq \dot{x}_1 \leq a$ ,  $\dot{x}_2 = 0$ ), всесторонне растягиваемой на бесконечности (рис. 2), так что  $\dot{\sigma}_{11}^\infty = \dot{\sigma}_{22}^\infty = \sigma^*$ ,  $\dot{\sigma}_{12}^\infty = 0 \rightarrow a_0 = 1$ ,  $b_0 = 0$ . Кроме того, на берега разреза действует равномерное нормальное давление  $\sigma_0$ . Здесь следует различать три варианта:

1. Следующая нагрузка — нормальное давление  $\sigma_0$  — отслеживает нормаль к деформированным берегам разреза. При этом статическое граничное условие (1.3) принимает вид

$$(\sigma^* + \sigma_0)\Phi_0(\zeta)e^{i\gamma} + (\alpha - \sigma_0)\Psi(\zeta)e^{-i\gamma} = -(\sigma^* + \sigma_0)e^{i\gamma}. \quad (3.1)$$

Здесь  $\sigma_0$ , входя в коэффициенты граничного условия, является своеобразной параметрической нагрузкой. Существенно, что (и это является характерным свойством упругого потенциала (2.1)) уравнение (3.1) линейно относительно функций Гурса — Колосова (при значительной нелинейности общей задачи). К нему применим любой из практикуемых в линейной теории приемов решения. Более того, это граничное условие даже проще своего линейного аналога.

Решение уравнения (3.1) показывает, что разрез переходит в окружность с радиусом

$$R = \frac{R_0}{1 - \sigma_0/\alpha}, \quad R_0 = \frac{(1 + \sigma^*/\alpha)a}{2}, \quad (3.2)$$

что качественно более-менее подтверждается экспериментами на резиновых пластинах. Асимптотику напряженного состояния в окрестности правого конца разреза определяет величина

$$\left. \frac{\partial \sigma_{\varphi\varphi}}{\partial \varphi} \right|_{\varphi=0} = \left( \left. \frac{\partial \sigma_{\varphi\varphi}}{\partial \varphi} \right|_{\varphi=0} \right)_* \frac{2 + (\alpha/\sigma^* - 1)(\sigma_0/\alpha)}{2[1 - (\sigma_0\alpha)]} \quad \left( \left. \left( \frac{\partial \sigma_{\varphi\varphi}}{\partial \varphi} \right|_{\varphi=0} \right)_* = \sigma^* \left( \frac{a}{2r} \right)^{1/2} \right).$$

2. При геометрически нелинейном подходе также положим  $\sigma_{vv}(s) = -\sigma_0$ ,  $\sigma_{vt}(s) = 0$ , т. е. будем понимать под  $\sigma_0$  постоянную («мертвую») нормальную к берегам недеформированного разреза нагрузку. Отметим, что нагрузка такого рода реализуется в области ослабленных связей (при образовании так называемых тяжей в полимерах). При этом граничное условие (1.3) принимает вид

$$\sigma^*\Phi_0(\zeta)e^{i\gamma} + \alpha\overline{\Psi_0(\zeta)}e^{-i\gamma} = -(\sigma^* + \sigma_0)e^{i\gamma}.$$

Разрез переходит в окружность с радиусом

$$R = R_0 \left[ 1 + \frac{\alpha}{\sigma^*} \left( \frac{\sigma_0}{\alpha} \right) \right], \quad R_0 = \frac{(1 + \sigma^*/\alpha)a}{2}. \quad (3.3)$$

Асимптотику напряженного состояния определяет величина

$$\left. \frac{\partial \sigma_{\varphi\varphi}}{\partial \varphi} \right|_{\varphi=0} = \left( \left. \frac{\partial \sigma_{\varphi\varphi}}{\partial \varphi} \right|_{\varphi=0} \right)_* \left[ 1 + \frac{\alpha}{\sigma^*} \left( \frac{\sigma_0}{\alpha} \right) \right] \quad \left( \left. \left( \frac{\partial \sigma_{\varphi\varphi}}{\partial \varphi} \right|_{\varphi=0} \right)_* = \sigma^* \left( \frac{a}{2r} \right)^{1/2} \right).$$

Рассмотренный случай можно считать отвечающим первоначально нормальной нагрузке.

3. При использовании зависимостей линейной теории (с учетом, конечно, предварительного всестороннего растяжения) имеем выражение для асимптотики напряженного состояния. Таким образом, в случае первоначально нормальной нагрузки линейная теория приводит к правильной асимптотике. Что касается формы деформированного разреза, получаемый здесь результат неприемлем для ее описания (горизонтальный разрез переходит в вертикальный с перехлестыванием берегов). Этого и следовало ожидать, поскольку линейная теория неадекватно описывает большие повороты.

Примем обычное для металлов значение  $\nu = 0,3$ , при котором, согласно (2.2),  $\alpha/\sigma^* = 1 - 2\nu = 0,4$ . Для этих значений упругих постоянных на рис. 3, 4 показаны зависимости

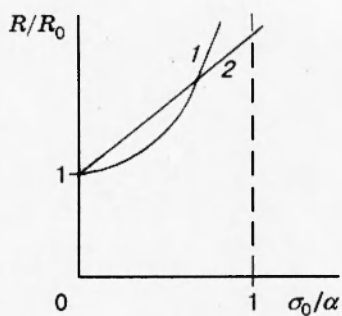


Рис. 3

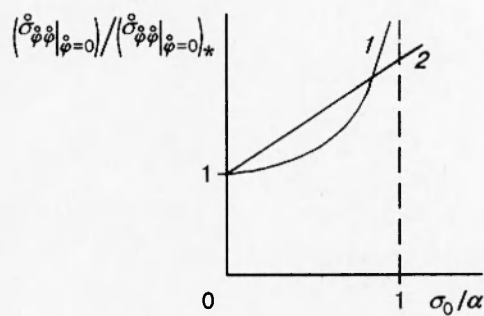


Рис. 4

$R/R_0$  (см. (3.2) и (3.3)) и  $\sigma_{\varphi\varphi}^0 \Big|_{\varphi=0} / \left( \sigma_{\varphi\varphi}^0 \Big|_{\varphi=0} \right)_*$  от  $\sigma_0/\alpha$  (линии 1 и 2 соответствуют случаям 1 и 2).

Отметим, что выявленный характер зависимостей от нормального давления справедлив и для угловых точек (вырезов).

Итак, на примере эталонной задачи получены (при линейном и геометрически нелинейном подходах) точные выражения для условных и линейных напряжений. Сопоставление найденных решений показало существенное различие влияния следящей и постоянной нагрузок на асимптотику напряжений и форму деформированного контура. Показана также приемлемость асимптотики напряжений в линейной теории в случае постоянной нагрузки.

Работа выполнена при финансовой поддержке Российского фонда фундаментальных исследований (код проекта 93-013-16511).

#### ЛИТЕРАТУРА

- Черных К. Ф. Нелинейная теория упругости в машиностроительных расчетах. Л.: Машиностроение, 1986.
- Черных К. Ф. Введение в анизотропную упругость. М.: Наука, 1988.
- Черных К. Ф. Нелинейная плоская теория упругости и ее применение к физически и геометрически нелинейной механике трещин // Успехи механики. 1986. Т. 12, вып. 4. С. 51–75.
- Черных К. Ф. О необходимости учета геометрической нелинейности в проблеме хрупкого разрушения // Докл. АН СССР. 1989. Т. 306, № 6. С. 1336–1338.

Поступила в редакцию 14/XI 1994 г.,  
в окончательном варианте — 5/V 1995 г.